



1743-IB-AB 1271

Formas kársticas en las calizas nodulosas ( $J_{31}$ ) del Malm. (Sierra Pelada, Torcal).



1743-IB-AB 1272

Formas kársticas en las calizas nodulosas (J<sub>31</sub>) del Malm. (Sierra Pelada, Torcal).



1743-IB-AB 1273

Formación de la Viñuela. Secuencias -  
T<sub>a-b</sub> rítmicas de tipo turbidítico. --  
Términos con granoselección y microla  
minación paralela. (T<sub>33-1</sub><sup>A-Ba</sup>s). Serie in  
vertida.



1743-IB-AB 1274

Flute-cast. Serie flysch de Valdivia.  
Unidad de Colmenar.



1743-IB-AB 1275

Calizas grises del "Neocomiense blanco-astilloso".-  
Unidad de Robledo.



1743-IB-AB 1276

Los Tajos. Unidad de Ronda-Torcal. El co  
rredor está ocupado por las margas de la  
Unidad de Colmenar



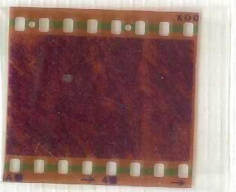
1743-IB-AB 1277

Unidad de Gallo-Vilo. Grietas de retracción en caliza. Intercalación de los niveles detríticos rojos ( $T_{G-3}^{-J}_{11}$ ) del tránsito Trias-Lias.



1743-IB-AB 1278

Conjunto de las Cabras. Brechas calizas  
(T<sub>2</sub><sup>A</sup>). Eoceno.



1743-IB-AB 1279

Superficie de estratificación  
en un nivel de brechas de la  
formación de Santana. (Unidad  
de Gallo-Villo) (T<sup>A</sup>-Ba<sub>m</sub>, cg).





1743-IB-AB 1280

Brechas poligénicas (T<sup>Ba</sup><sub>11</sub>) --  
(Unidad de Robledo).





1743-IB-AB 1281

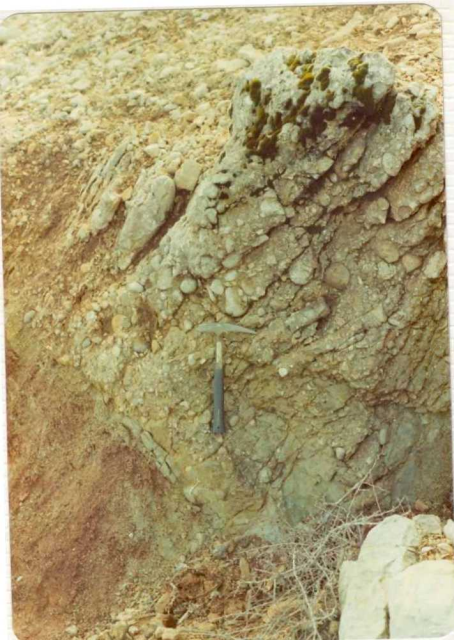
Nivel de calizas nodulosas ( $J_{31}$ ) del  
Malm (Los Tajos).



1743-IB-AB 1282

Unidad de Gallo-Vilo. Grietas de retracción en caliza. Intercalación en los niveles detríticos rojos (T<sub>G3</sub>-J<sub>11</sub>) del tránsito ~~Trias~~ Trias-Lias.





1743-IB-AB 1283

Intercalación de conglomerado en los niveles rojos del tránsito Trias-Lias - ( $T_{G3} - J_{11}$ ). Unidad de Gaillo-Vilo.



1743-IB-AB 1284

Unidad de Ronda-Torcal. Serie vertical -  
del Tajo de Gomer. De derecha a izquier-  
da calizas oolíticas ( $J_{12-31}$ ) masivas. -  
Calizas nodulosas ( $J_{31}$ ) (formando la ca-  
nal). Calizas con Ammonites ( $J_{32-33}$ ), --  
bien estratificadas limitando por el te-  
cho al canal.



1743-IB-AB 1285

Margas negras ("matriz") ( $T_1^{Ba}$ ) de la Un  
dad de Colmenar.



1743-IB-AB 1286

Conjunto de las Cabras. Vista hacia el O desde el pié de Chamizo. La banda oscura de la derecha corresponde a las dolomías ( $T_{G3}-J_{11}$ ) de la base de la Sierra del Madroñal. A la izquierda dolina en las calizas oolíticas de la cara E de Rodadero.



1743-IB-AB 1287

Serie de calizas y margas salmón ( $C_2-T_2^A$ )  
("capas rojas"). Unidad de Ronda-Torcal.



1743-IB-AB 1288

Formación de Santana en Alcolea ( $T_{33-1}^{A-Ba}$ ).  
Unidad de Colmenar.



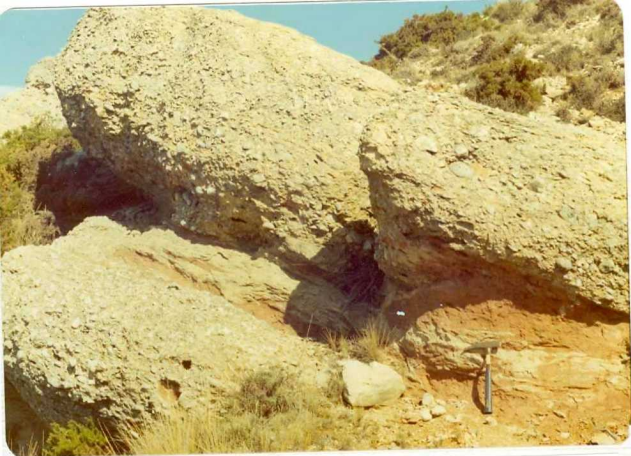
1743-IB-AB 1289

Unidad de Gallo-Vilo. Calizas oolíticas  
(J<sub>12-2</sub>) en el periclinal SE.



1743-IB-AB 1290

Formación de la Viñuela. Detalle de la -  
foto 1273. Flutes en sección transversal  
y granoselección. Serie invertida.



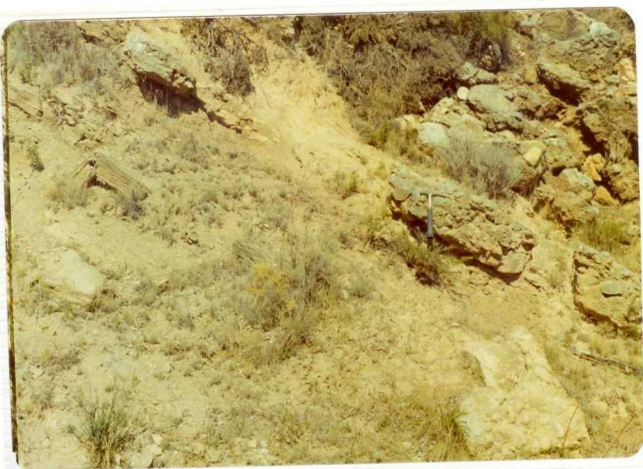
1743-IB-AB 1291

Intercalación de conglomerado en los niveles rojos del tránsito Trias-Lias ( $T_{G3}^{-J_{11}}$ )  
Unidad de Gallo-Vilo.



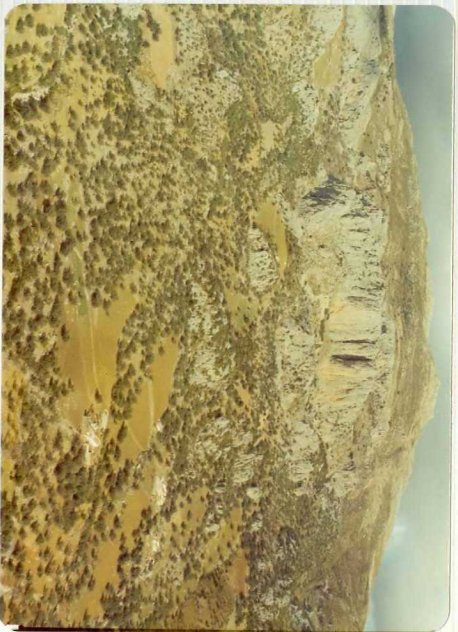
1743-IB-AB 1292

Flute-cast en areniscas cuarzosas de los  
flyschs de la "Zona Límite".



1743-IB-AB 1293

Formación de Santana ( $T_{33-1}^{A-Ba}$  m, cg). Nive--  
les de brechas intercaladas en margas ro  
jizas.



1743-IB-AB 1294

Cumbre de Vilo. En primer término pitones  
de calizas oolíticas de Ronda-Torcaal emer  
giendo de las margas ( $T_1^{Ba}$ ) de la Unidad -  
de Colmenar.



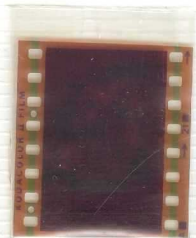
1743-IB-AB 1295

Anticlinal de la Unidad de Gallo-Vilo. Al  
pié Alfarnatejo.



1743-IB-AB 1296

Colada de soliflucción desde el pié de la Sierra de  
Camarolos. Al fondo, a la izquierda Riogordo.



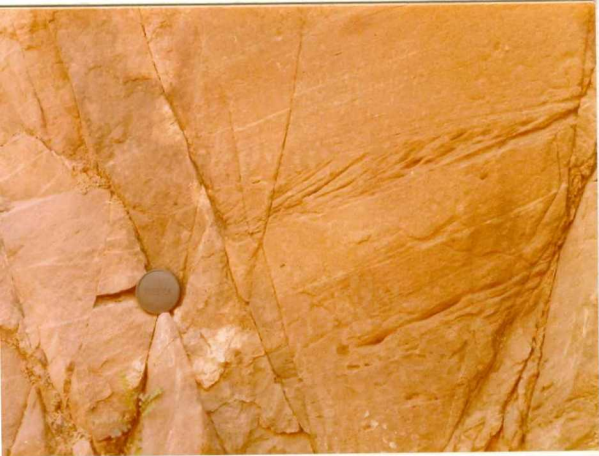
1743-IB-AB 1297

Brechas calizas ( $T_2^A$ ).  
Eoceno. Detalle foto  
1278.



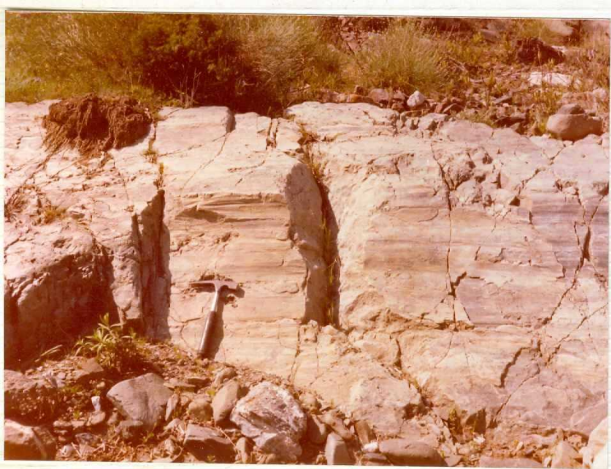
1743-IB-AB 1298

Unidad de Gallo-Vilo. Silexitas ( $J_3$ ),  
probable Malm.



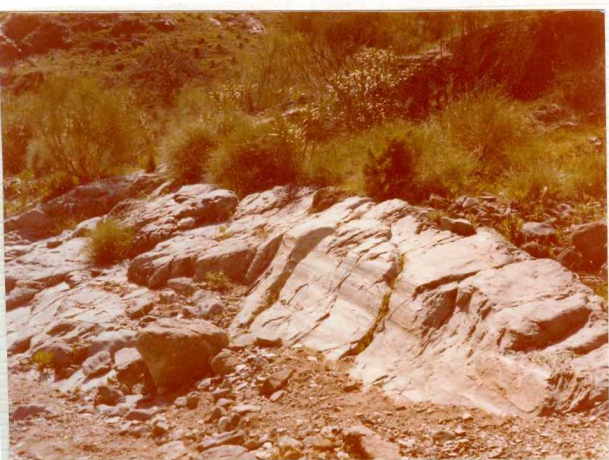
1743-IB-EP 277

Estratificación cruzada en areniscas  
permotriásicas (P-T<sub>G</sub>).



1743-IB-EP 278

Detalle de la superficie tectónica que separa los esquistos de la Unidad de Benamocarra ( $\xi_B$ ) de los esquistos y cuarcitas ( $\xi_{\gamma_k}$ ) del



1743-IB-EP 279

Detalle de la superficie tectónica que separa los esquistos de la Unidad de Benamocarra ( $\xi_B$ ) de los esquistos y cuarcitas ( $\xi\gamma_k$ ) del Alpujárride.